

Fig. 1A
PRIOR ART

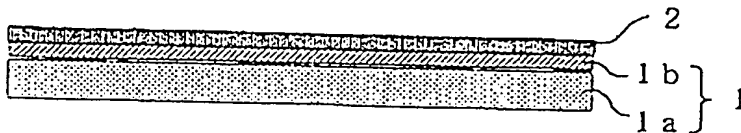


Fig. 1B
PRIOR ART

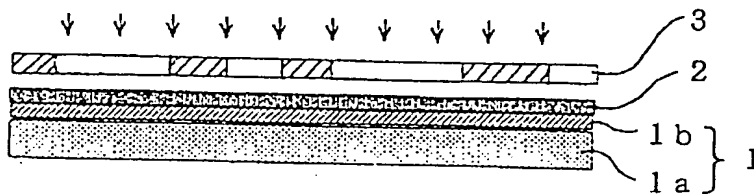


Fig. 1C
PRIOR ART

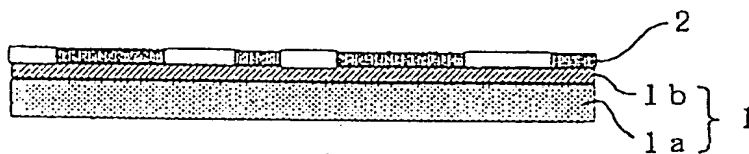


Fig. 1D
PRIOR ART

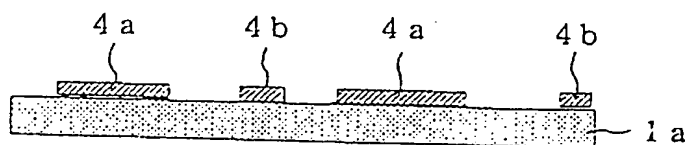


Fig. 1E
PRIOR ART

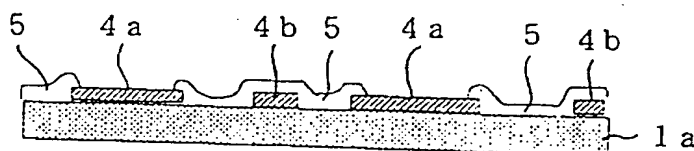


Fig. 1F
PRIOR ART

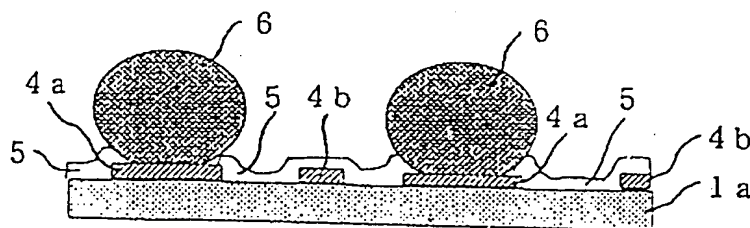


Fig. 1G
PRIOR ART

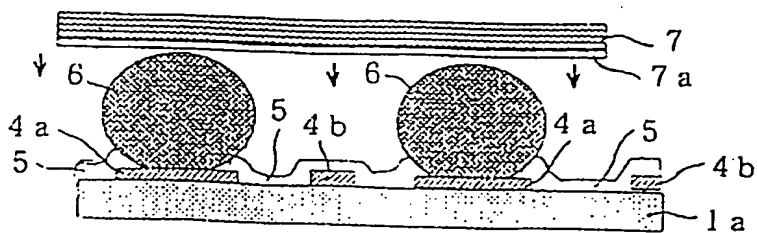


Fig. 1H
PRIOR ART

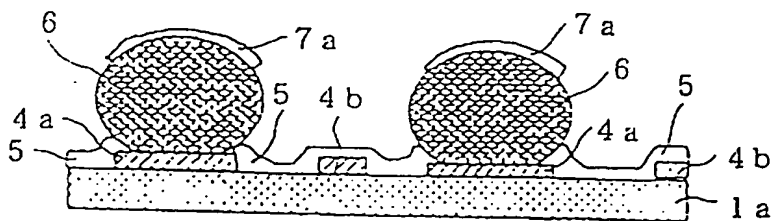


Fig. 1I
PRIOR ART

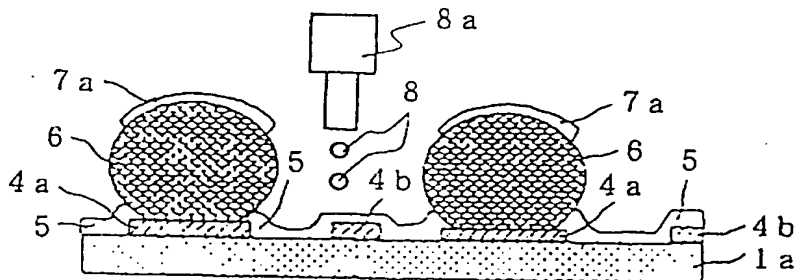


Fig. 1J
PRIOR ART

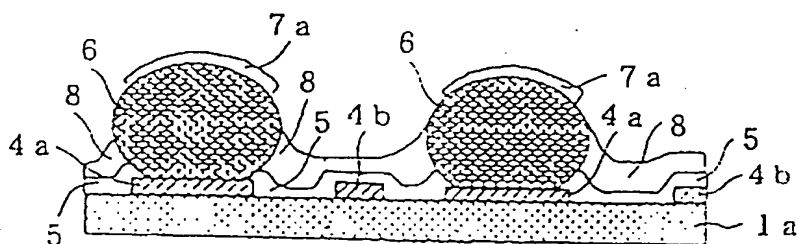


Fig. 1K
PRIOR ART

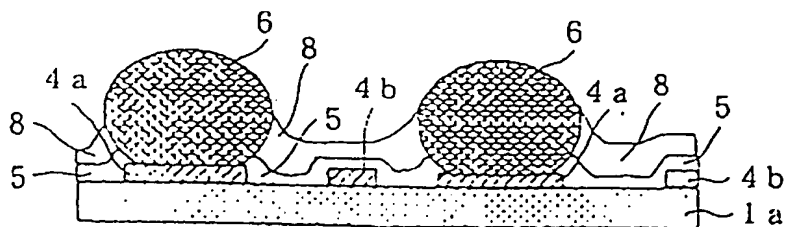


Fig. 1L
PRIOR ART

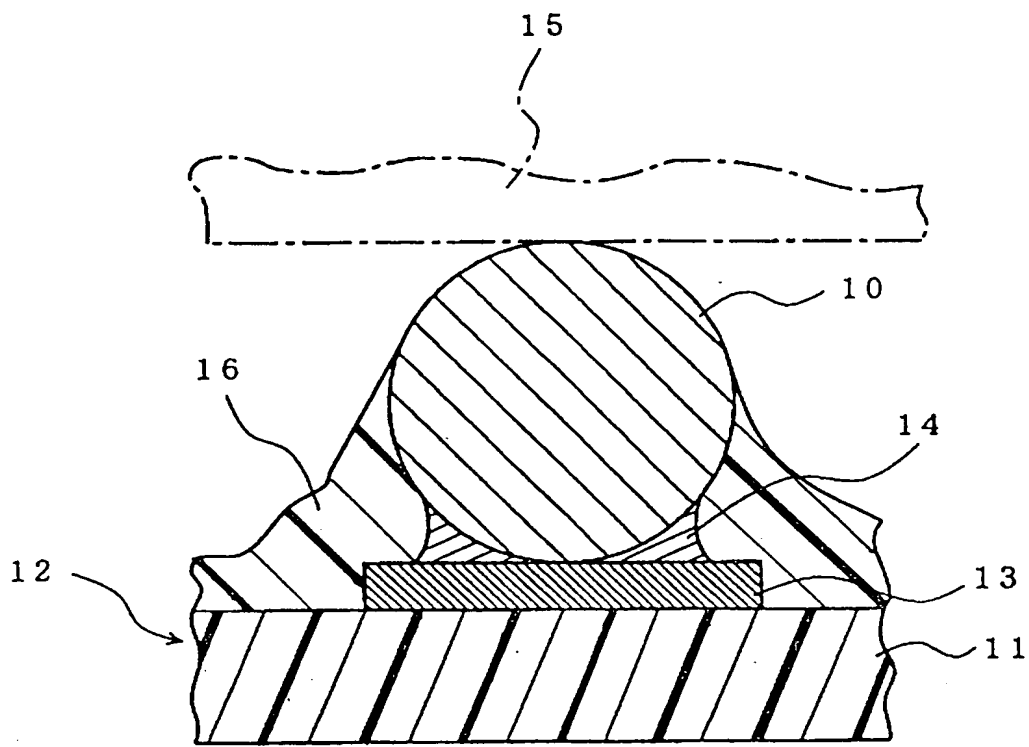


Fig. 2



Fig. 3A



Fig. 3B

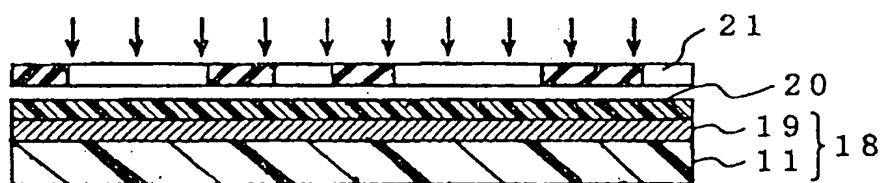


Fig. 3C



Fig. 3D

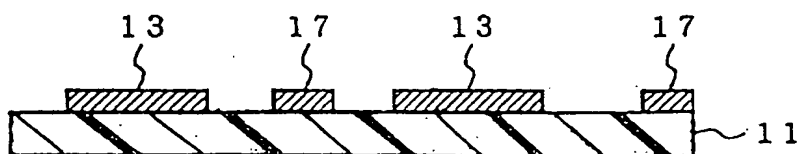


Fig. 3E

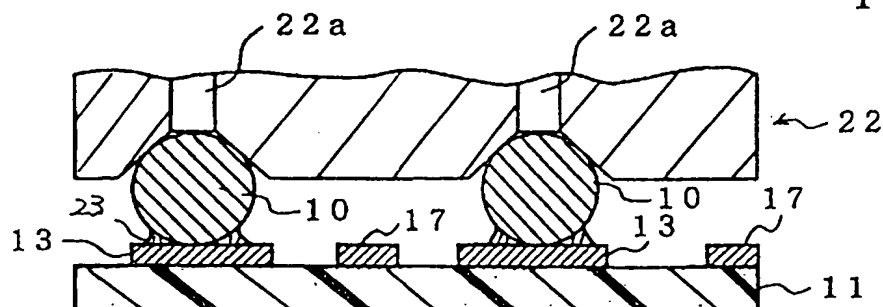


Fig. 3F

666999 333466

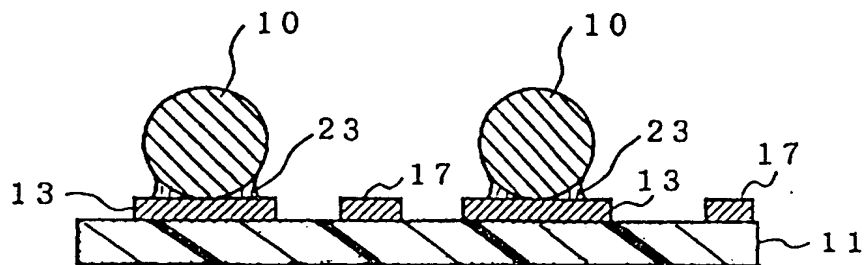


Fig. 3G

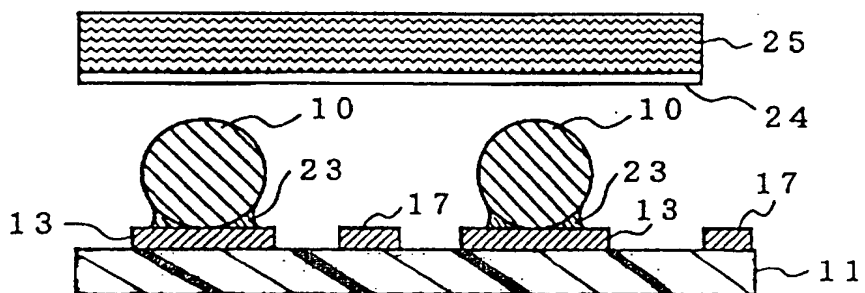


Fig. 3H

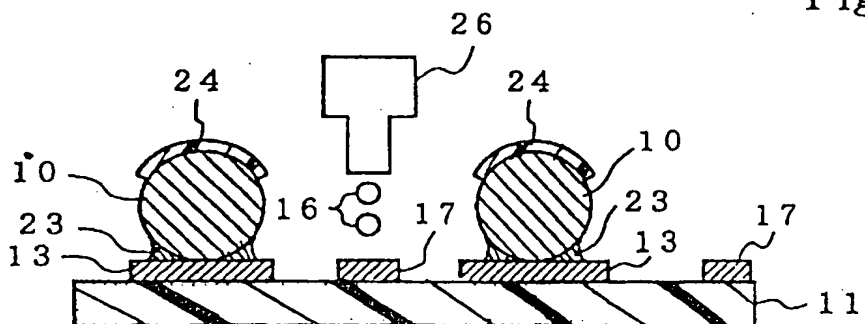


Fig. 3I

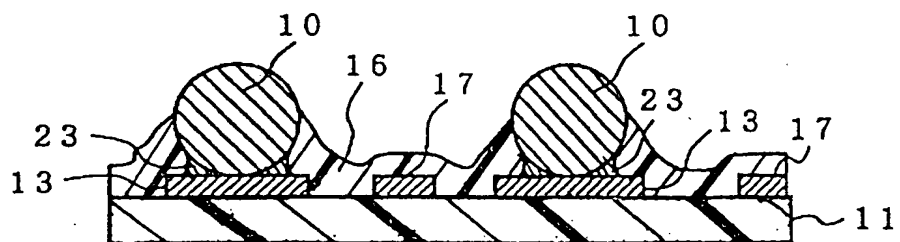


Fig. 3J

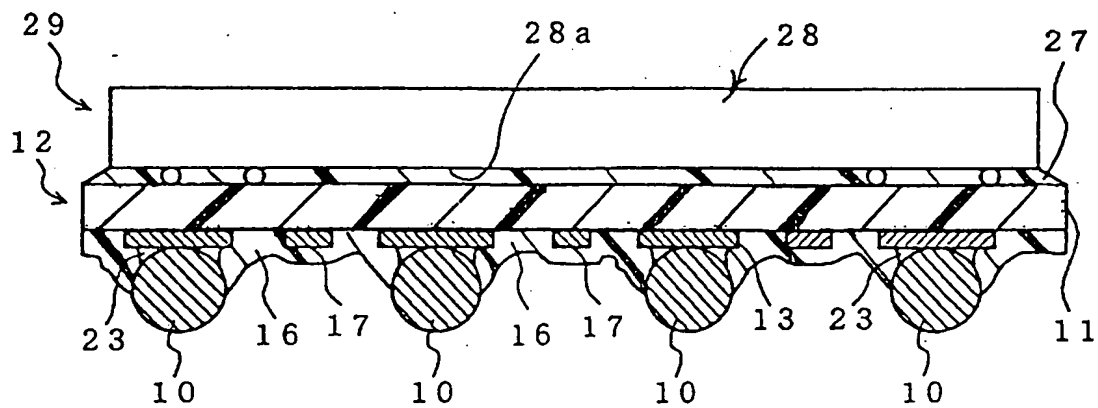


Fig. 4

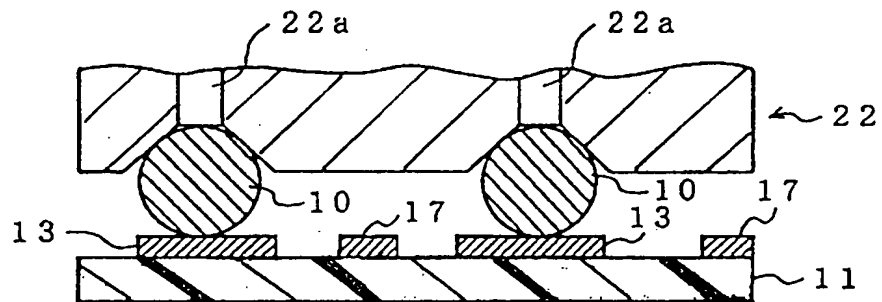


Fig. 5A

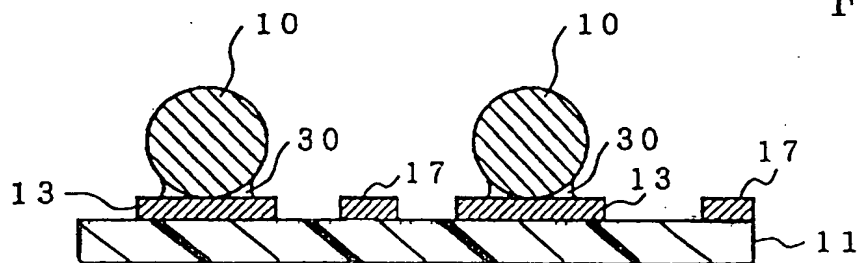


Fig. 5B

6600-9262650

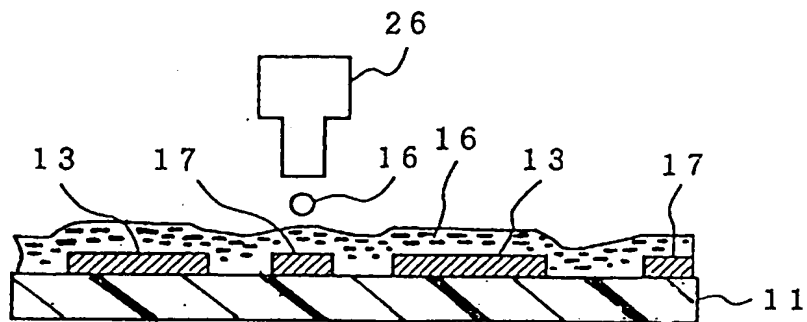


Fig. 6A

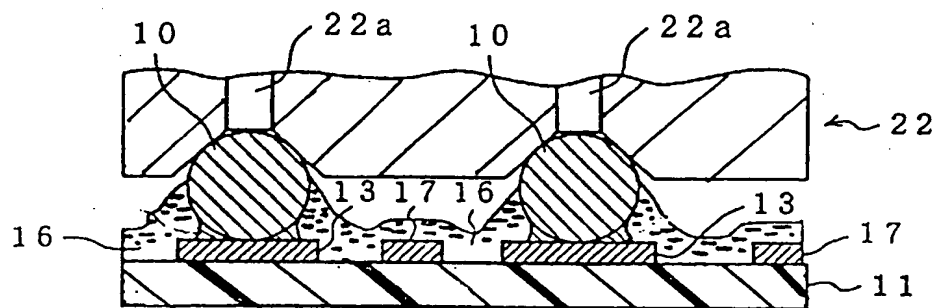


Fig. 6B

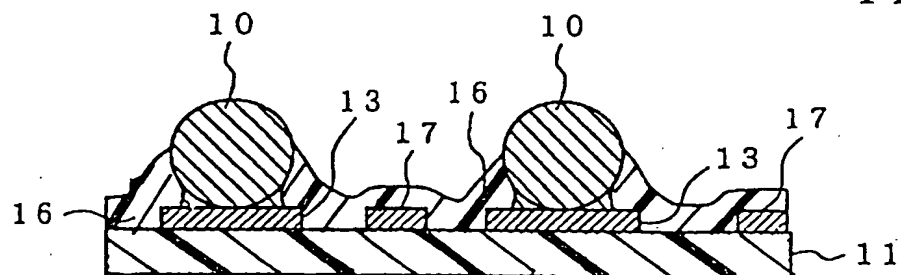


Fig. 6C

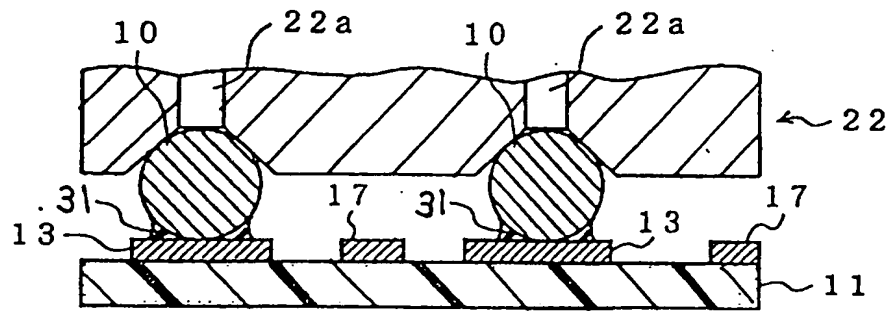


Fig. 7A

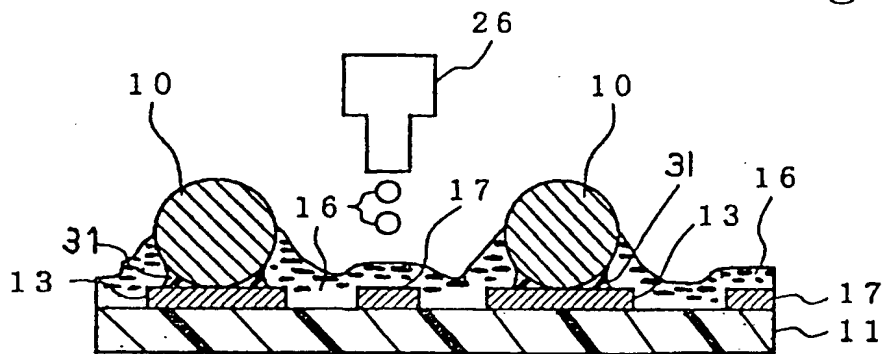


Fig. 7B

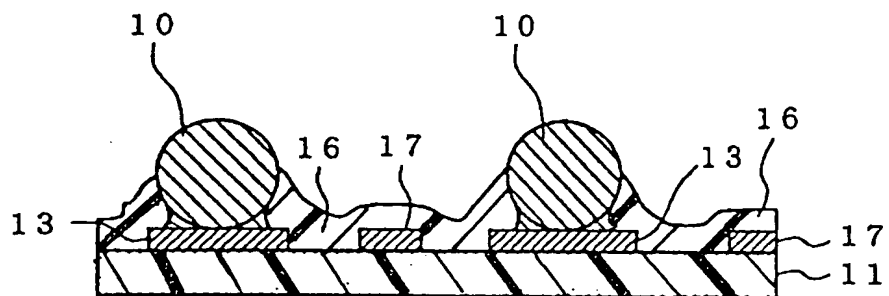


Fig. 7C

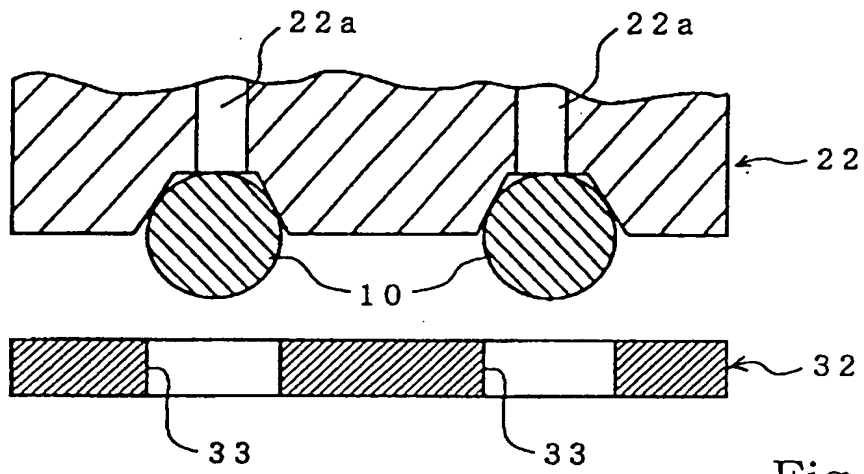


Fig. 8A

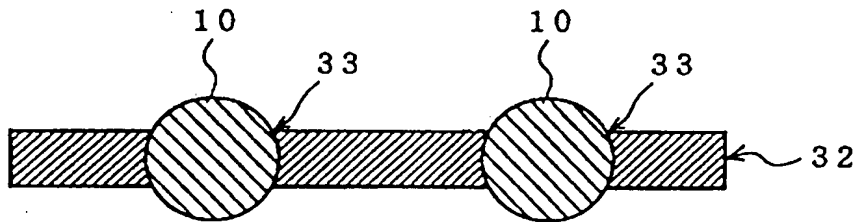


Fig. 8B

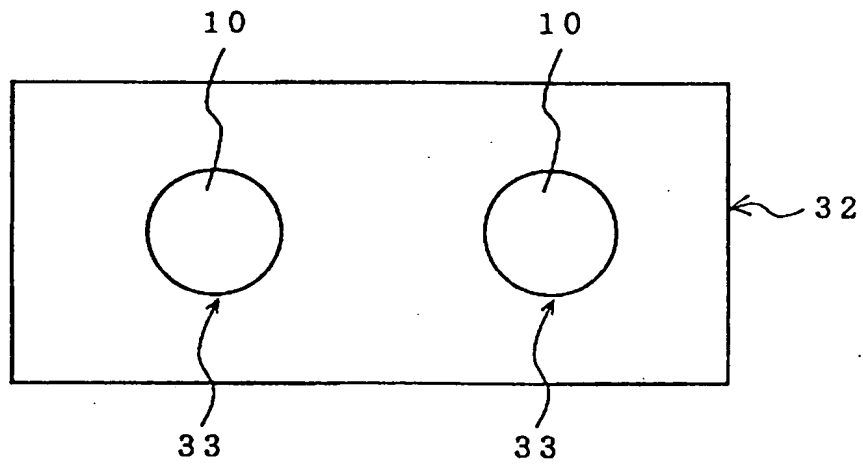


Fig. 9

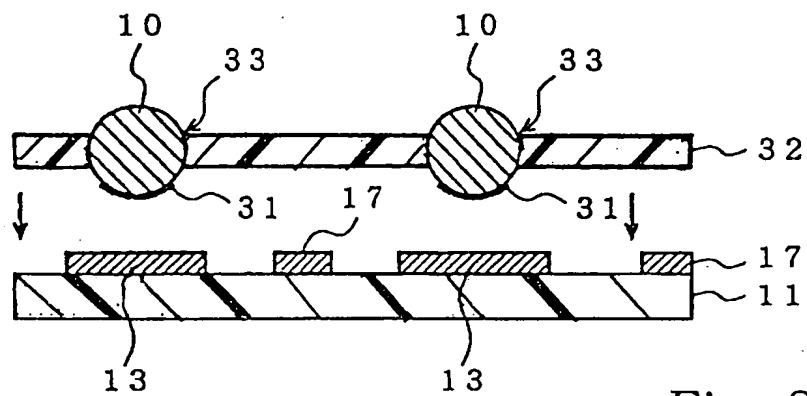


Fig. 8C

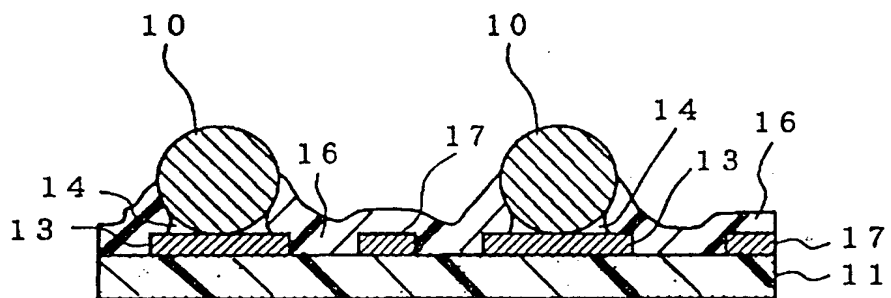


Fig. 8D